

# BULLETIN DES RELEVÉS NIVOMÉTRIQUES ET DES PROJECTIONS HYDROLOGIQUES DU YUKON

Le 1<sup>er</sup> avril 2020



Rédigé et publié par :  
Direction des ressources en eau  
Ministère de l'Environnement

## PRÉFACE

Le *Bulletin des relevés nivométriques et des projections hydrologiques du Yukon* est publié trois fois par année – au début de mars, d'avril et de mai – par la Direction des ressources en eau du ministère de l'Environnement. Le bulletin présente un sommaire des conditions météorologiques et de l'écoulement des principaux cours d'eau du Yukon durant l'hiver, ainsi que des mesures de l'épaisseur de la couche de neige et de son équivalent en eau (EEN) provenant de 57 stations. Ces données servent à évaluer les probabilités d'inondations printanières causées par des débâcles ou par un ruissellement abondant dû à la fonte printanière (débordement). Il est à noter que d'autres phénomènes, comme les pluies estivales et la fonte des glaciers, peuvent influencer considérablement les niveaux d'eau maximums annuels dans certains bassins du Yukon.

Le bulletin des relevés nivométriques est présenté dans un nouveau format et il est en constante amélioration grâce aux nouvelles technologies et aux commentaires provenant des utilisateurs et des partenaires. Les conditions météorologiques (températures et précipitations) moyennes de l'automne et de l'hiver sont présentées dans deux cartes couvrant tout le territoire. Une troisième carte présente l'équivalent en eau de la neige (EEN) relatif moyen pour 11 bassins hydrographiques (ou bassins versants). Des données météorologiques et hydrologiques complémentaires pour chaque bassin sont communiquées au moyen d'au plus cinq graphiques, selon la disponibilité des données :

- Figure A : EEN à partir de septembre à un endroit précis du bassin versant, ce qui donne un aperçu de l'évolution du couvert de neige durant l'hiver.
- Figure B : Estimation de l'EEN moyen à la fin du mois, pour l'ensemble du bassin, calculée à partir des relevés nivométriques, comparée aux données historiques et utilisée en guise d'indicateur des volumes potentiels de ruissellement au printemps (en tenant compte que la sublimation de la neige, l'évapotranspiration, la pluie et la fonte des glaciers ont également une influence considérable sur le ruissellement).
- Figure C : Précipitations hivernales mensuelles moyennes (pluie ou neige) comparées aux données historiques (normale climatique de 30 ans). Ces renseignements complètent ceux présentés à la figure B.
- Figure D : Degrés-jours de gel cumulés (DJGC, la somme de l'inverse des températures quotidiennes) comparés aux données historiques, ce qui sert d'indicateur de la rigueur de l'hiver et de l'épaisseur du couvert de glace des rivières; des variables affectant le scénario de la débâcle printanière.
- Figure E : Estimation du débit journalier ou niveau d'eau mesuré comparée aux données historiques, ce qui donne un aperçu des conditions hydrologiques du bassin.

On peut obtenir de l'information sur le bulletin, le couvert de neige ou les projections hydrologiques en communiquant avec l'une des personnes suivantes :

Jonathan Kolot

Technologue en hydrologie

867-667-3234

[jonathan.kolot@gov.yk.ca](mailto:jonathan.kolot@gov.yk.ca)

Anthony Bier

Technologue en hydrologie

867-667-3144

[anthony.bier@gov.yk.ca](mailto:anthony.bier@gov.yk.ca)

Benoit Turcotte

Hydrologue principal

867-667-3223

[benoit.turcotte@gov.yk.ca](mailto:benoit.turcotte@gov.yk.ca)

Direction des ressources en eau, ministère de l'Environnement

867-667-3171, sans frais (Yukon, Territoires du Nord-Ouest, Nunavut) : 1-800-661-0408, poste 3171

Télécopieur : 867-667-3195 | Courriel : [water.resources@gov.yk.ca](mailto:water.resources@gov.yk.ca)

Deux balises à neige ont été ajoutées au réseau en 2020; une à Hyland River B et l'autre à Twin Creeks B. Le présent bulletin, tout comme les publications précédentes, est accessible à l'adresse [yukon.ca/fr/bulletins-nivométriques](http://yukon.ca/fr/bulletins-nivométriques).

ISSN 1705-883X

Le titre suivant devrait être utilisé pour citer le présent document :

Bulletin des relevés nivométriques et des projections hydrologiques du Yukon, 1<sup>er</sup> avril 2020.

© Avril 2020

Direction des ressources en eau

Ministère de l'Environnement

Gouvernement du Yukon

C.P. 2703, Whitehorse (Yukon) Y1A 2C6

## REMERCIEMENTS

Le bulletin des relevés nivométriques fait partie du Programme des relevés nivométriques du Yukon, qui relève de la Direction des ressources en eau, ministère de l'Environnement, gouvernement du Yukon. D'autres organismes contribuent de manière importante au Programme et à la préparation du bulletin en fournissant des données et de l'information :

- Agent responsable de la collecte des données, Service de la conservation des ressources naturelles, département de l'Agriculture des États-Unis
- Météorologiste, Section de la gestion des feux de forêt, ministère des Services aux collectivités du Yukon, Whitehorse
- Agent responsable, Division des relevés hydrologiques du Canada, Whitehorse
- Ingénieur en gestion des eaux, Société d'énergie du Yukon
- Première Nation des Gwitchin Vuntut
- Université McMaster

Organismes collaborant avec le ministère de l'Environnement du Yukon dans le cadre du Programme des relevés nivométriques :

- Ministère de l'Environnement de la Colombie-Britannique, Division de l'intendance des eaux
- Parcs Canada, parc national et réserve de parc national du Canada Kluane
- Ministère de la Voirie et des Travaux publics du Yukon
- Ministère de l'Énergie, des Mines et des Ressources du Yukon, Services des Inspections et du suivi de la conformité
- Ministère de l'Environnement du Yukon, Direction des technologies et de la gestion de l'information
- Gouvernement de la Première nation des Gwitchin Vuntut

## AVERTISSEMENT ET LIMITATION DE RESPONSABILITÉ

L'utilisateur comprend et reconnaît qu'il utilise les données à ses propres risques. Il incombe uniquement à l'utilisateur de vérifier l'exactitude, la disponibilité, la pertinence, la fiabilité, la convivialité, l'exhaustivité ou l'actualité des données.

L'utilisateur accepte les données « telles qu'elles sont » et reconnaît que le gouvernement du Yukon ne fait aucune représentation ni ne donne aucune garantie (expresses ou implicites) à l'égard de l'exactitude, de la disponibilité, de la pertinence, de la fiabilité, de la convivialité, de l'exhaustivité ou de l'actualité des données, y compris, sans s'y limiter, des garanties implicites de qualité marchande ou d'adaptation à un usage particulier, et l'absence de contrefaçon.

En ce qui a trait à l'accès aux données, l'utilisateur convient également qu'en aucun cas le gouvernement du Yukon ne sera tenu responsable (ni soumis à une obligation délictuelle ou contractuelle), d'une façon ou d'une autre, envers l'utilisateur ou une autre entité juridique pour ce qui est de l'exactitude, de la disponibilité, de la pertinence, de la fiabilité, de la convivialité, de l'exhaustivité ou de l'actualité des données, y compris, sans s'y limiter, d'une perte de revenu ou de profit, ou d'un dommage direct, indirect, spécial, fortuit ou immatériel découlant de l'utilisation des données ou lié à une telle utilisation.

# CONDITIONS MÉTÉOROLOGIQUES ET COUVERT DE NEIGE SUR LE TERRITOIRE DU YUKON

Durant l'automne et l'hiver 2019-2020, les températures ont été en général près de la moyenne historique<sup>1</sup> dans la plupart des régions du territoire, avec une période de grand froid en janvier. Les précipitations ont été au-dessus ou bien au-dessus de la moyenne historique dans le centre du Yukon, dans les monts Mackenzie et dans les monts St. Elias. Selon les prévisions saisonnières, la fonte printanière sera tardive.

## Novembre

Pendant la première moitié du mois, les températures de l'air sont restées près de la moyenne dans le centre et le nord du Yukon, sauf autour du 10 novembre où le froid a sévi pendant quelques jours. Dans la seconde moitié du mois, toutefois, la plupart des régions ont connu des anomalies de température très chaude, surtout à Old Crow. À Whitehorse, tout le mois a été assez chaud, les températures de l'air ayant d'ailleurs atteint un nouveau record maximum le 20 novembre. Au milieu du mois, d'importantes précipitations sont tombées sur le centre du Yukon et les monts Mackenzie. À la fin du mois, à Dawson, les chutes de neige cumulées avaient atteint un niveau maximum absolu. Whitehorse et Old Crow ont reçu des précipitations dans la moyenne.

## Décembre

Les températures ont varié considérablement durant tout le mois, les minimums enregistrés étant de -40 °C et les maximums dépassant 0 °C. Dans le sud du Yukon, les températures ont été en général plus chaudes que la moyenne, notamment à la fin du mois, tandis que le nord connaissait des anomalies de température froide. Dans le centre du Yukon, les chutes de neige ont été, encore ce mois-ci, supérieures à la moyenne, tandis que l'accumulation dans le nord du Yukon a été peu importante.

## Janvier

L'année 2020 a débuté par un refroidissement dans l'ensemble du Yukon. Les températures ont été particulièrement froides dans le centre du Yukon du 5 au 20 janvier, mais l'anomalie a aussi touché le sud du Yukon, dont Whitehorse. La masse d'air arctique s'est dissipée plus tard dans le mois lorsque le sud, le centre et le nord du Yukon ont reçu presque toutes leurs précipitations mensuelles, Mayo ayant d'ailleurs enregistré un maximum absolu à cet égard pour le mois.

## Février

Février a été marqué par un retour à des températures plus près de la normale dans la plupart des régions, bien qu'il y ait eu des fluctuations notables. À Whitehorse, le cumulatif mensuel s'est traduit par une anomalie de température chaude, à l'opposé des observations dans le centre et le nord du Yukon. Le sud et le centre du Yukon ont reçu d'importantes chutes de neige durant la deuxième semaine du mois, établissant de nouveaux records journaliers pour Whitehorse. Ces précipitations se sont ajoutées à la couverture de neige déjà épaisse dans le cours supérieur des bassins versants des rivières Liard, Pelly et Stewart, ainsi que dans la chaîne de montagnes St. Elias.

---

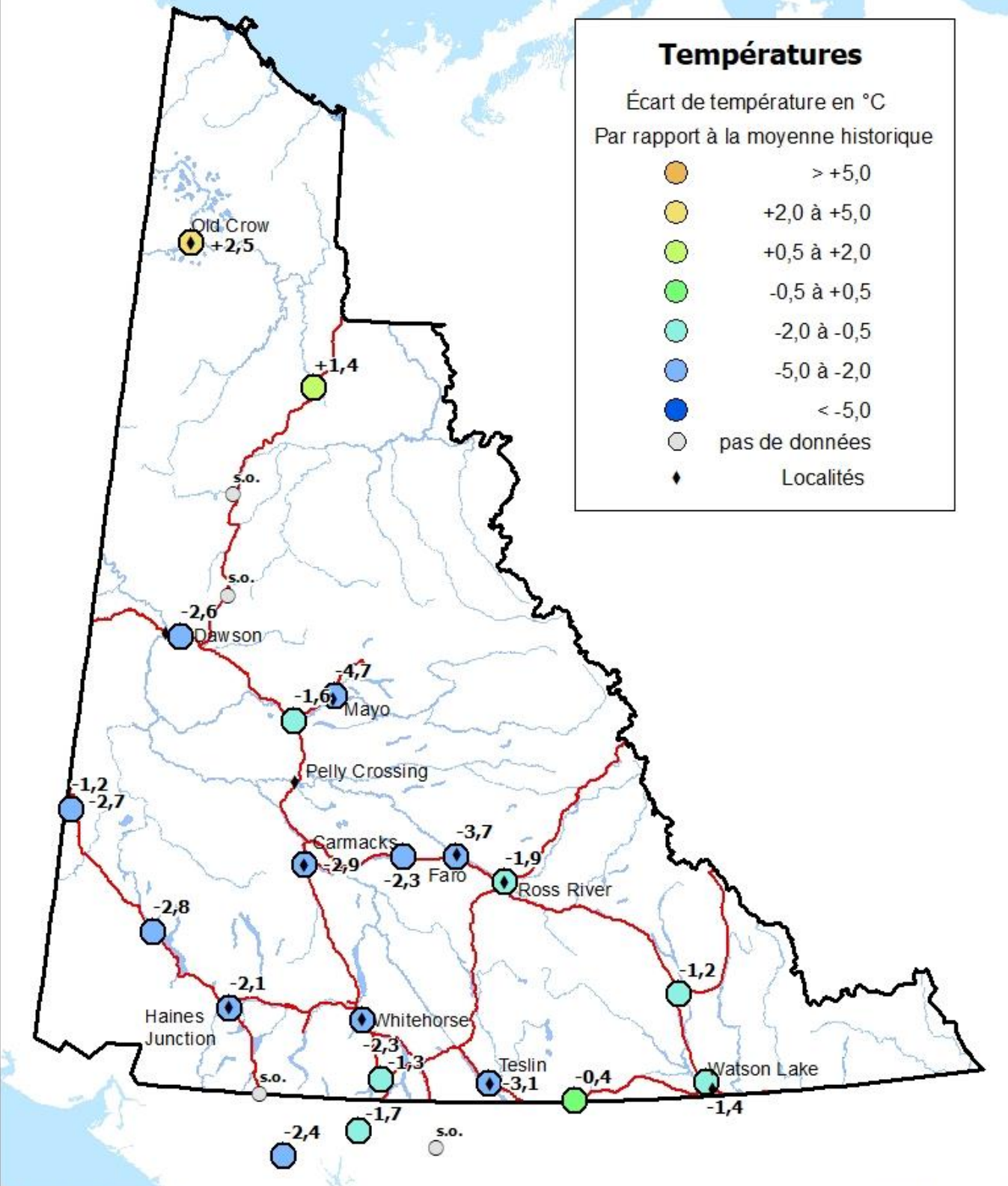
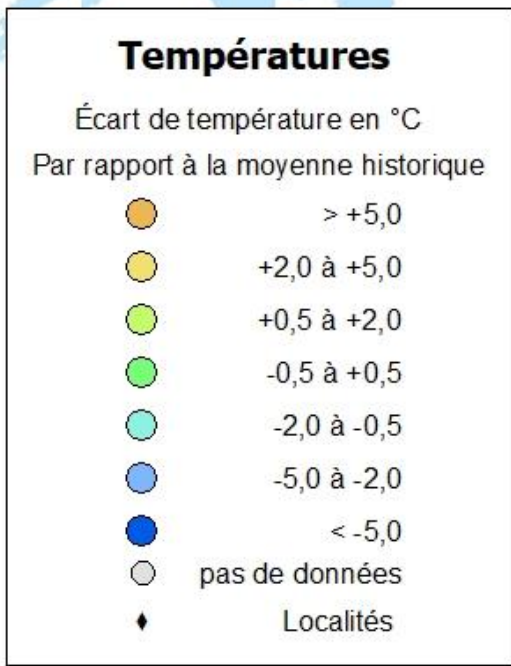
<sup>1</sup> Les données historiques en matière de température, de précipitations, d'équivalent en eau de la neige, de débit et de niveau d'eau n'ont pas toujours été compilées sur une période assez longue pour établir une « normale », soit des données s'étalant sur 30 ans. En conséquence, dans le présent document, il est fait état d'une moyenne historique ou, tout simplement, d'une moyenne. Les données historiques étudiées dans le cadre de ce bulletin sont toujours suffisamment étendues dans le temps pour être représentatives des conditions hydrométéorologiques récentes.

## **Mars**

Contrairement à mars 2019, mars 2020 a été plus froid que la normale climatique de 30 ans partout dans le centre et le sud du Yukon. Par ailleurs, les données concernant Old Crow et les sections nord de la route Dempster étaient légèrement au-dessus de la normale. Malgré des périodes de chaleur, les températures minimales nocturnes se sont maintenues sous le point de congélation durant le mois, ce qui contribuera à retarder la fonte de la neige. À la fin du mois, l'ensemble du territoire a connu un temps froid pour la saison. Les précipitations totales étaient près de la normale climatique hormis le sud-est du Yukon, où elles se situaient à environ 50 % de la normale à long terme pour le mois de mars.

# Anomalies des températures - mars 2020

## Territoire du Yukon



Map ID: ENV.522.TMP.2020.04-FR

© 2020 Environment Yukon

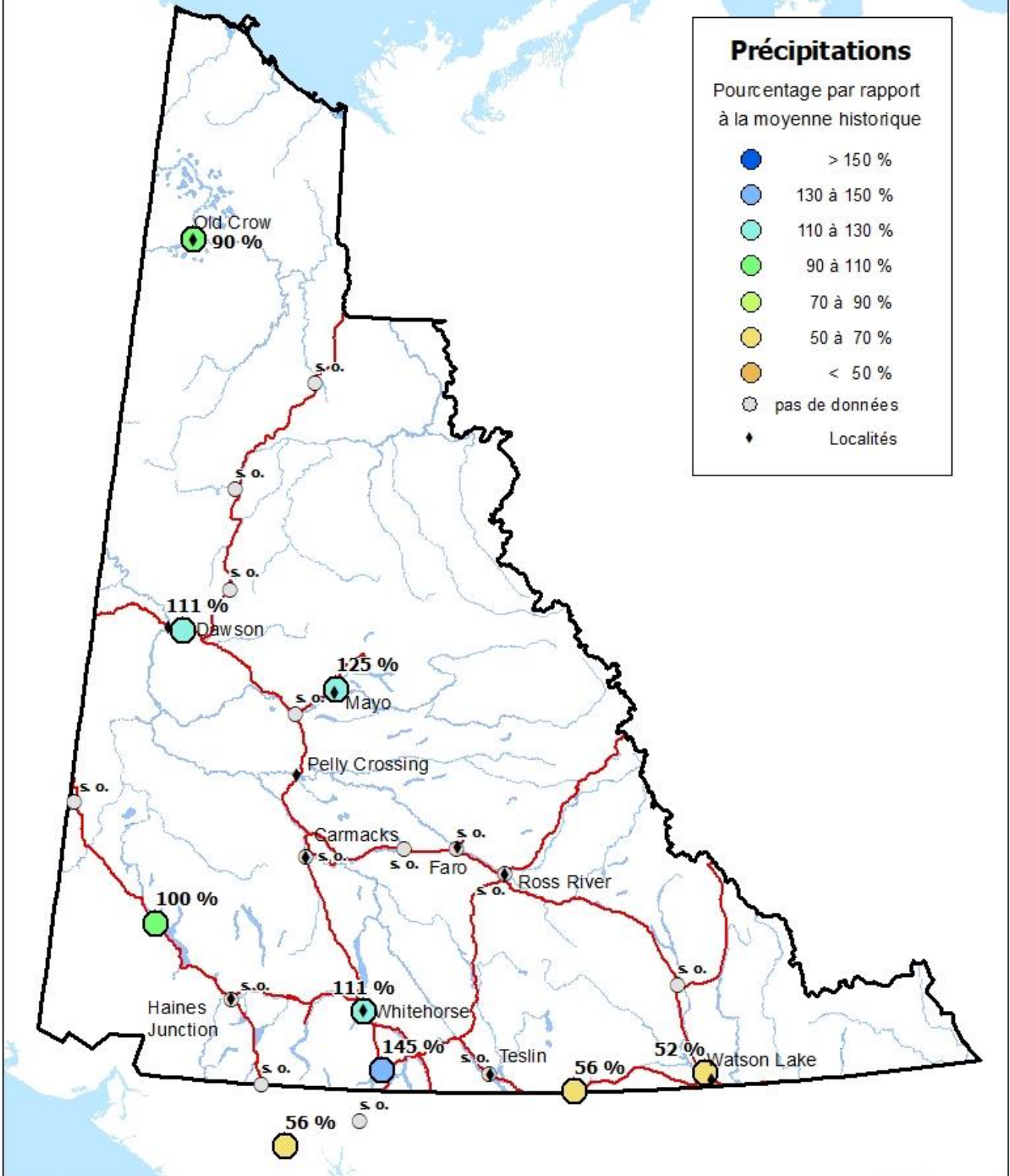
# Précipitations - mars 2020

## Territoire du Yukon

### Précipitations

Pourcentage par rapport à la moyenne historique

- > 150 %
- 130 à 150 %
- 110 à 130 %
- 90 à 110 %
- 70 à 90 %
- 50 à 70 %
- < 50 %
- pas de données
- ◆ Localités

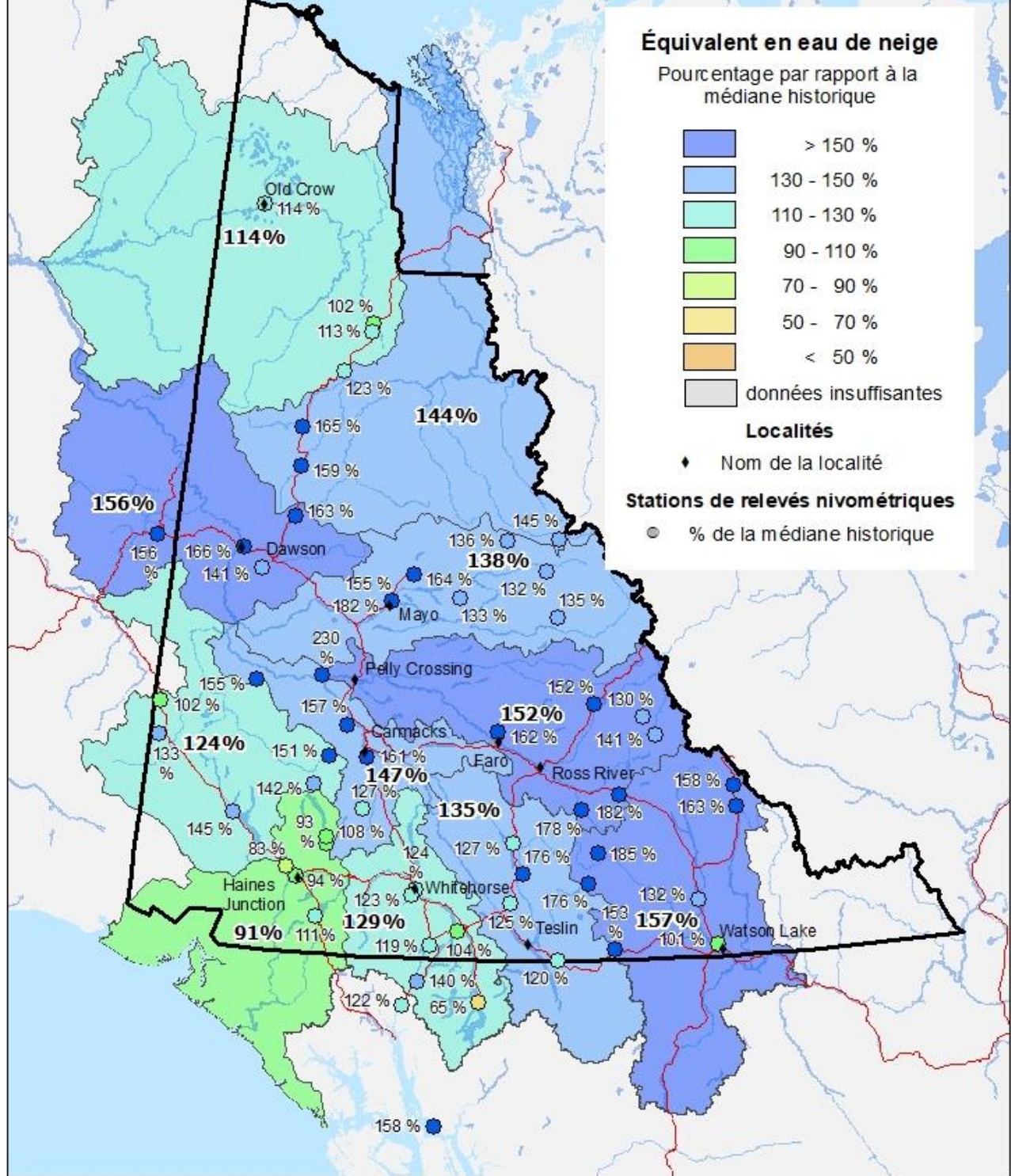


Map ID: ENV.522.PPT.2020.04-FR

© 2020 Environment Yukon

# Équivalent en eau de la neige – 1<sup>er</sup> avril 2020

## Territoire du Yukon



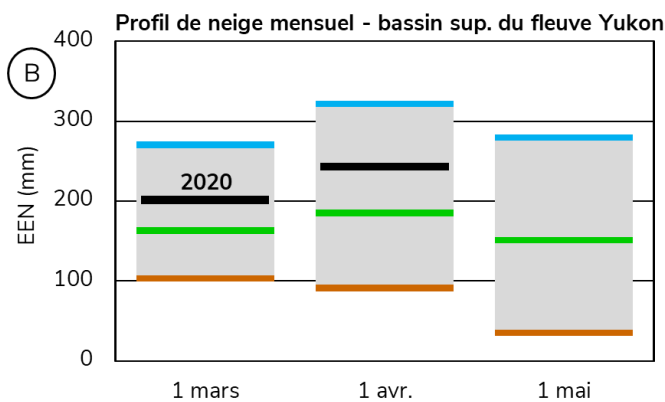
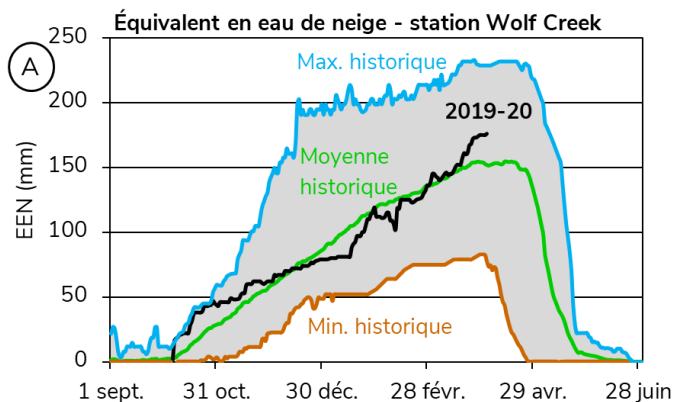
Map ID: ENV.522.2020.04-FR

© 2020 Environment Yukon

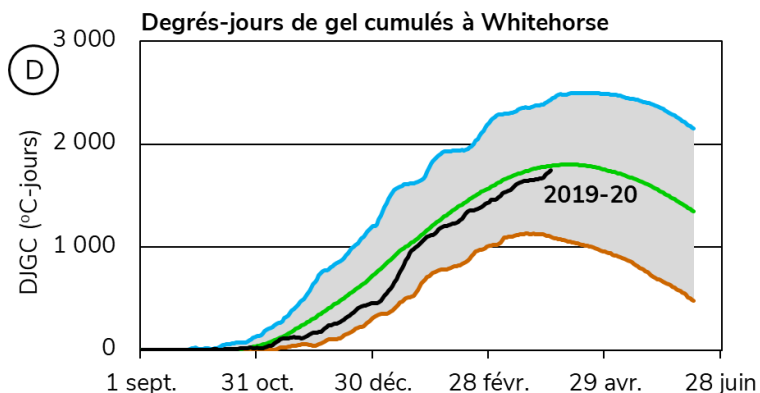
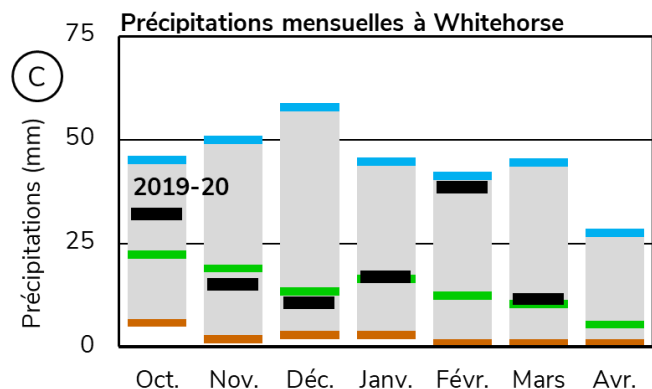


# BASSIN SUPÉRIEUR DU FLEUVE YUKON (LACS DU SUD/WHITEHORSE)

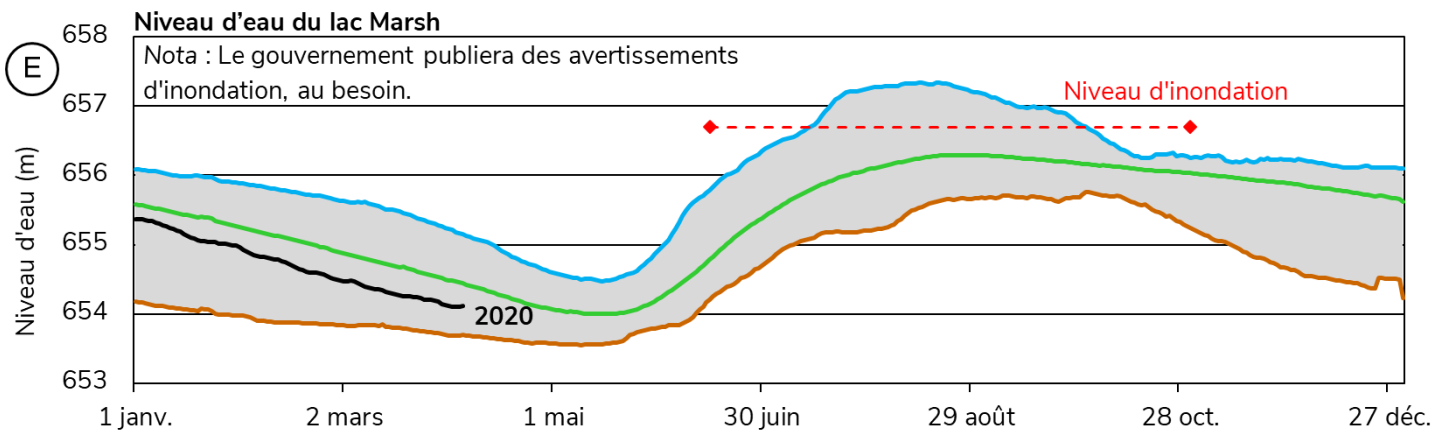
À la station subalpine Wolf Creek, les mesures indiquent que l'équivalent en eau de neige (EEN) est à **116 %** de la **moyenne historique** (figure A). La moyenne de l'EEN dans le bassin supérieur du fleuve Yukon est estimée à **129 %** de la **médiane historique**, soit **243 mm** en date du 1<sup>er</sup> avril (figure B).



Les précipitations mensuelles enregistrées à l'aéroport de Whitehorse durant l'automne et l'hiver font état de précipitations tantôt supérieures tantôt inférieures à la moyenne (figure C), le cumul des précipitations se situant **au-dessus** de la **moyenne** le 1<sup>er</sup> avril. Les degrés-jours de gel cumulés (DJGC) sont dans la **moyenne**, à 1 750 DJGC (figure D), ce qui porte à croire que l'épaisseur du couvert de glace sur les rivières et les lacs de la région est **près de la normale**. Pour le moment, la dégradation de ce couvert demeure minimale.

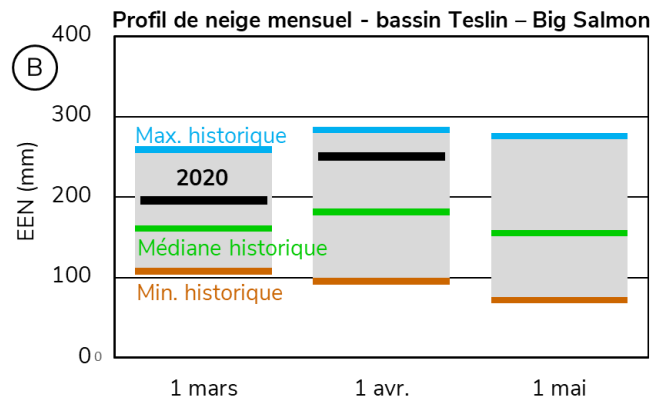


L'élévation du niveau d'eau (par rapport au niveau de la mer) du lac Marsh se situe actuellement à 0,3 m **en deçà** de la **moyenne** (figure E). Les niveaux d'eau dans les lacs du Sud dépendent de l'effet combiné de la fonte de la neige, des précipitations estivales et de la fonte des glaciers. Les conditions de neige actuelles portent à croire que les niveaux d'eau seront **supérieurs** à la **médiane** cet été. Les conditions météorologiques des quatre prochains mois influenceront les prévisions concernant le début de saison.

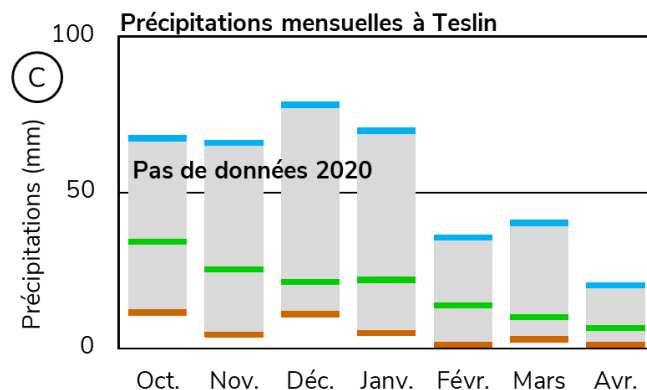


## BASSIN DE LA RIVIÈRE TESLIN

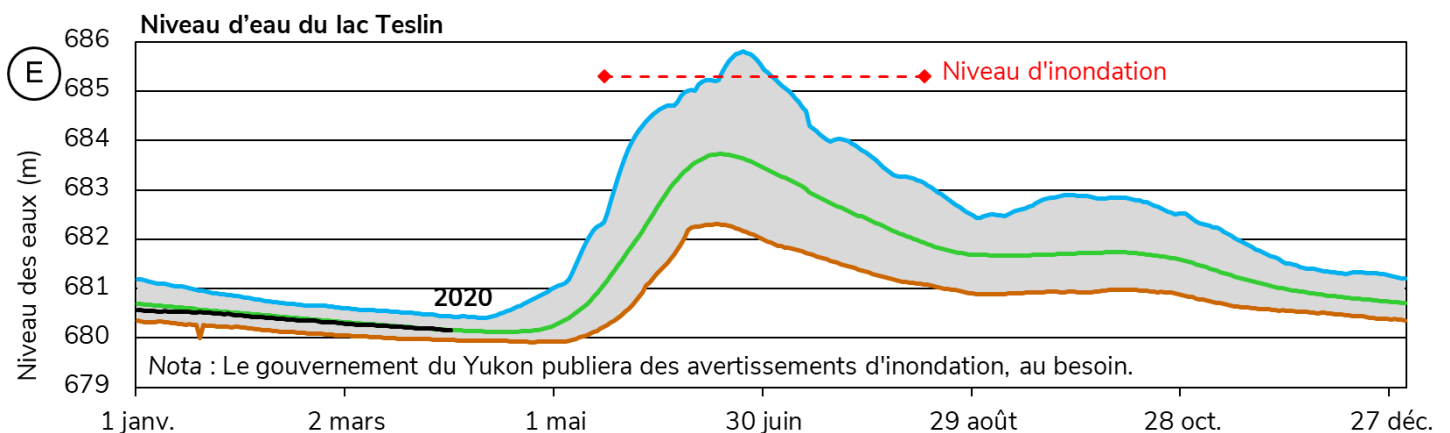
La moyenne de l'EEN dans le bassin de la rivière Teslin est estimée à **135 %** de la **médiane historique**, soit **250 mm** en date du 1<sup>er</sup> avril (figure B), ce qui peut être considéré comme une accumulation de neige importante pour la région.



Aucune donnée concernant les précipitations mensuelles n'a été enregistrée à Teslin depuis octobre 2019 (figure C), mais les observations concernant le couvert de neige indiquent que les valeurs sont **supérieures** à la **moyenne**.

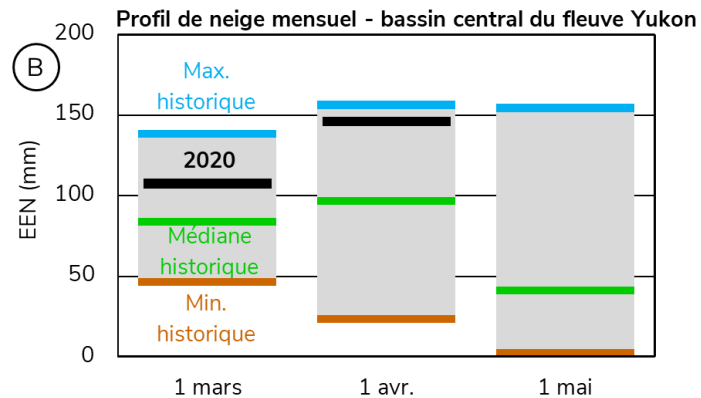


L'élévation du niveau d'eau (par rapport au niveau de la mer) du lac Teslin se situe actuellement **près de la moyenne** (figure E). Le couvert de neige **supérieur** à la **médiane** et le niveau d'eau **près de la moyenne** portent à croire que, cet été, les niveaux d'eau seront **supérieurs** à la **moyenne**. Les niveaux d'eau maximums sont tributaires du régime climatique printanier. Des températures chaudes et des conditions humides entraîneront des **volumes de ruissellement et des niveaux d'eau élevés**, notamment dans les rivières et ruisseaux que la route Canol Sud traverse.

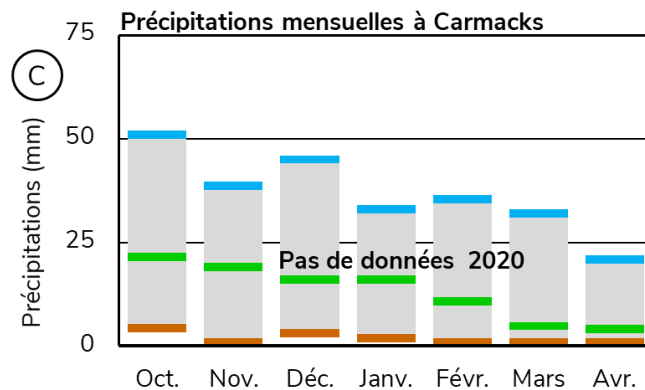


## BASSIN CENTRAL DU FLEUVE YUKON (RÉGION DE CARMACKS)

La moyenne de l'EEN dans le bassin central du fleuve Yukon est estimée à **147 %** de la **médiane historique**, soit **146 mm** en date du 1<sup>er</sup> avril (figure B), ce qui peut être considéré comme une accumulation de neige importante pour la région.



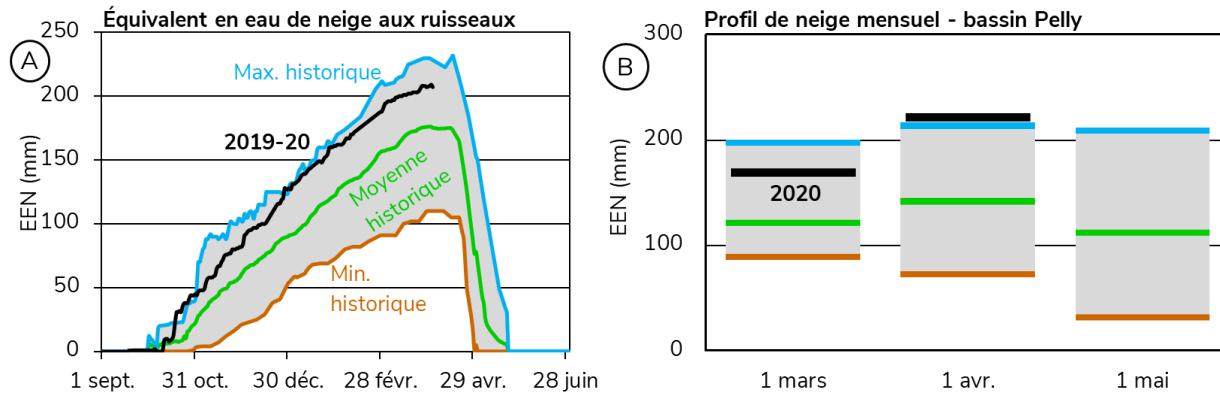
Aucune donnée concernant les précipitations mensuelles n'a été enregistrée à Carmacks depuis octobre 2019 (figure C), mais les observations concernant le couvert de neige indiquent que les valeurs sont **supérieures** à la **moyenne**.



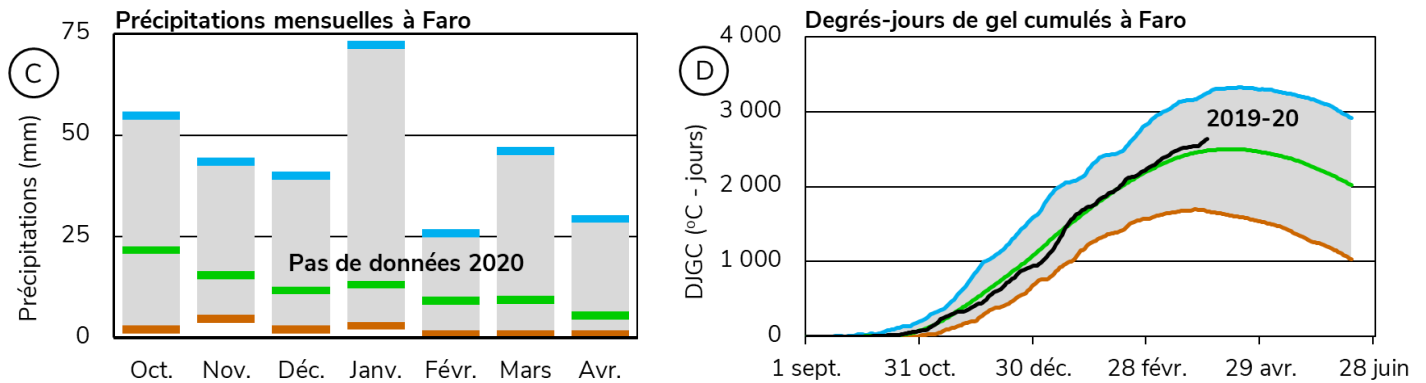
Les niveaux d'eau dans les rivières de la région de Carmacks devraient être supérieurs à la moyenne ce printemps et cet été.

# BASSIN DE LA RIVIÈRE PELLY

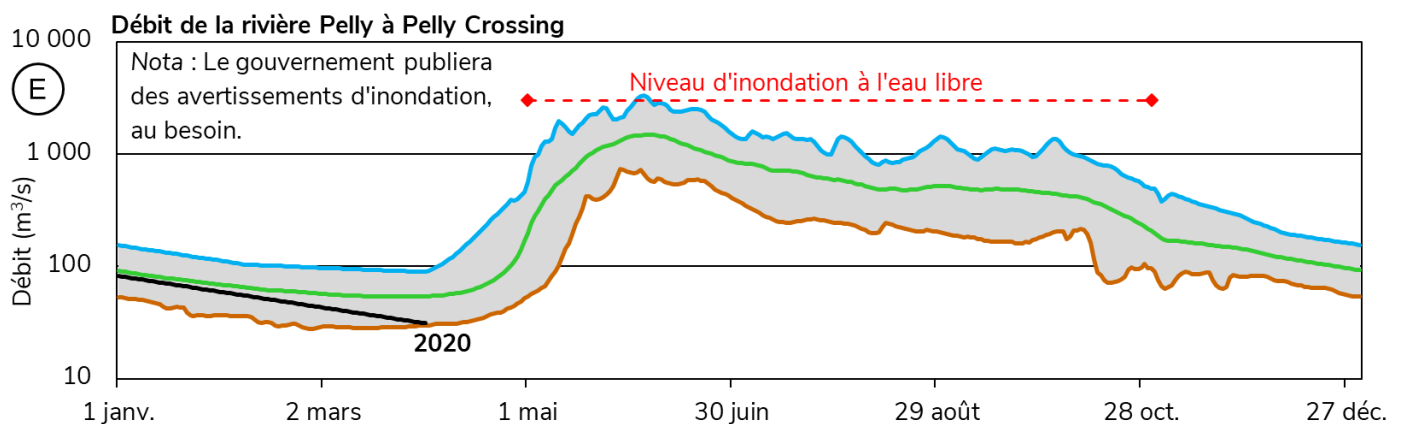
À la station météorologique Twin Creeks, la moyenne de l'EEN est estimée à **118 %** comparativement à la **moyenne** des données de 1989 à 1996 (figure A). La moyenne de l'EEN dans le bassin de la rivière Pelly est estimée à **152 %** de la **médiane historique**, soit **221 mm** en date du 1<sup>er</sup> avril (figure B). Il s'agit de l'accumulation de neige la plus importante depuis 1980 pour cette période de l'année.



Aucune donnée concernant les précipitations n'a été enregistrée à Faro (figure C), mais les observations concernant le couvert de neige indiquent que les valeurs sont **au-dessus** de la **moyenne**. Les degrés-jours de gel cumulés (DJGC) à Faro sont légèrement **au-dessus** de la **moyenne**, soit à 2 650 DJGC (figure D), ce qui porte à croire que l'épaisseur du couvert de glace sur les rivières et les lacs de la région est probablement **près de la normale**. Ce couvert n'a pas commencé à se dégrader.

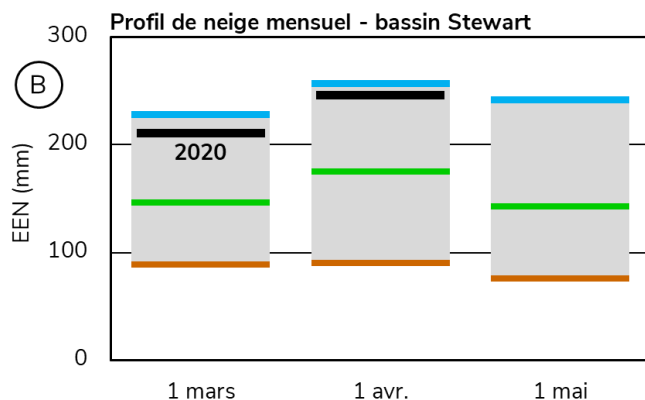
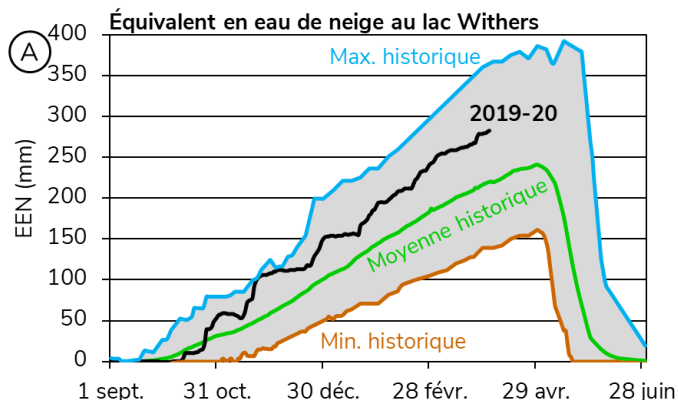


Le débit estimé de la rivière Pelly à Pelly Crossing est actuellement **sous** la **moyenne** (figure E). Puisque la couverture de neige a atteint un nouveau **record maximum** dans le bassin versant, les **débites de pointe de mai et de juin seront probablement importants**, notamment dans les rivières et autres cours d'eau que les routes Robert-Campbell et Canol traversent. Une hausse soudaine des températures de l'air en avril ou au début de mai pourrait également **favoriser la formation d'embâcles**.

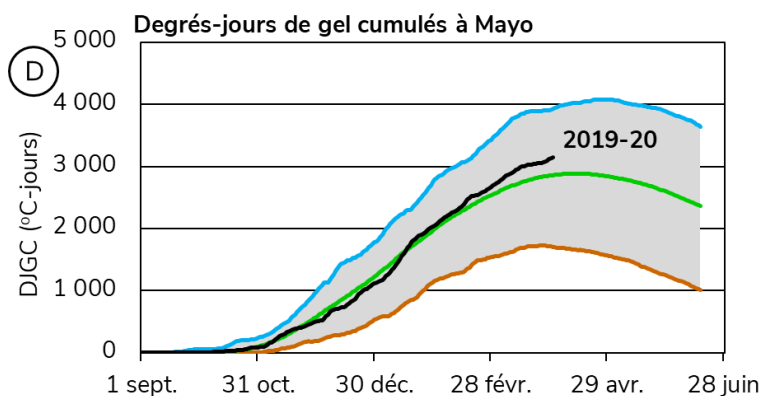
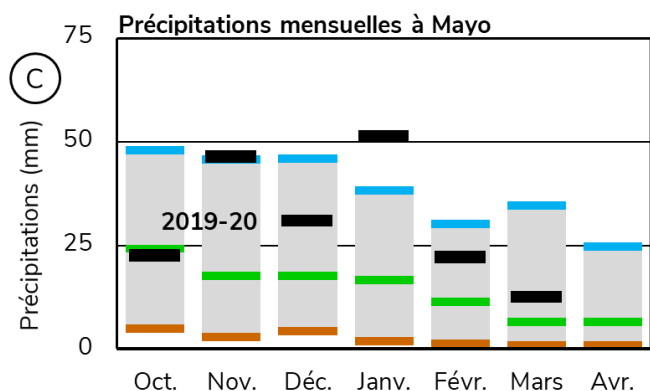


# BASSIN DE LA RIVIÈRE STEWART

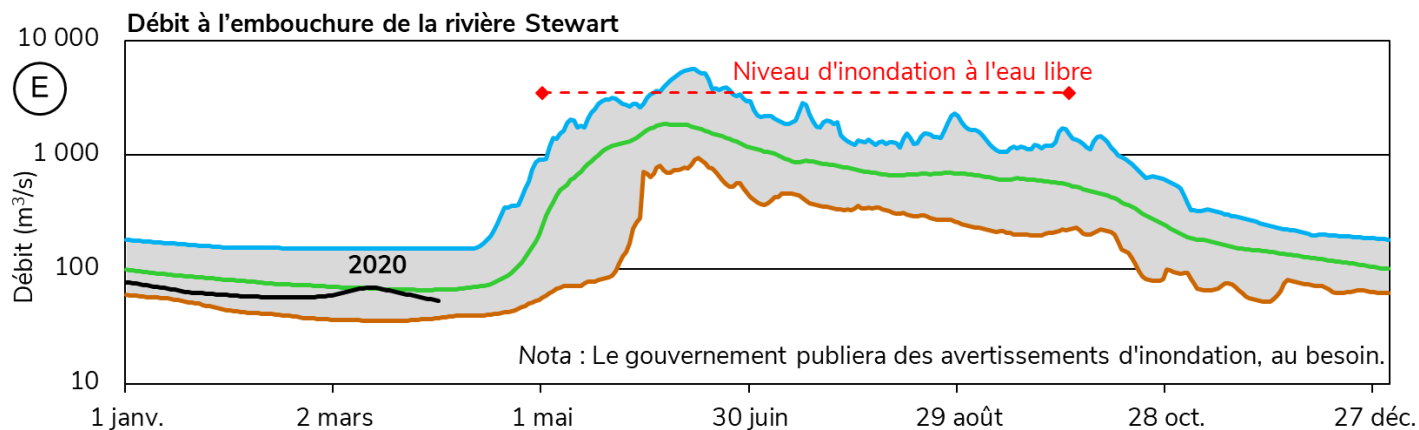
À la station météorologique Withers Lake, l'équivalent en eau de la neige (EEN) est estimé à **128 %** de la **moyenne historique** (figure A). La moyenne de l'EEN dans le bassin de la rivière Stewart est estimée à **138 %** de la **médiane historique**, soit **246 mm** en date du 1<sup>er</sup> avril (figure B), ce qui peut être considéré comme une accumulation de neige importante pour la région.



Les précipitations mensuelles enregistrées à l'aéroport de Mayo durant l'hiver sont toutes **au-dessus** de la **moyenne**, dont un nouveau maximum absolu pour l'accumulation totale en janvier 2020 (figure C). Les degrés-jours de gel cumulés (DJGC) sont **au-dessus** de la **moyenne**, soit à 3 150 DJGC (figure D), ce qui porte à croire que l'épaisseur du couvert de glace sur les rivières et les lacs de la région est aussi **au-dessus** de la **normale**. Ce couvert n'a pas commencé à se dégrader.

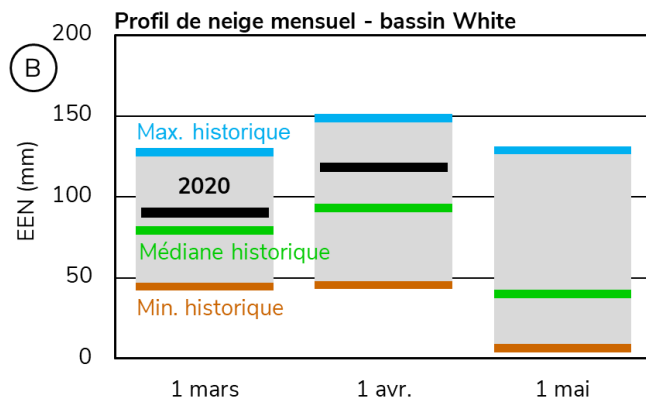


Le débit estimé à l'embouchure de la rivière Stewart est actuellement **sous** la **moyenne** (figure E). Puisque la couverture de neige dans le bassin versant est **bien au-dessus** de la **médiane**, les **débites de pointe de mai et de juin seront probablement importants**. Une hausse soudaine des températures de l'air en avril ou au début de mai pourrait également **favoriser la formation d'embâcles**.



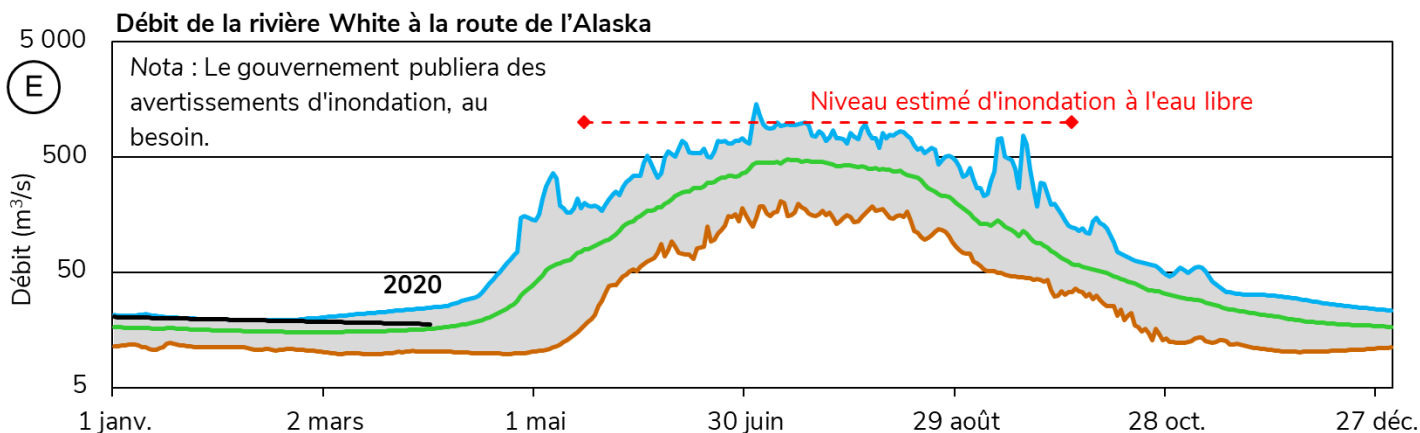
## BASSIN DE LA RIVIÈRE WHITE

La moyenne de l'EEN dans le bassin de la rivière White est estimée à **124 %** de la **médiane historique**, soit **118 mm** en date du 1<sup>er</sup> avril (figure B). Cette donnée, toutefois, est probablement plus représentative du contrefort de la chaîne de montagnes St. Elias, tandis que l'EEN relatif (%) dans la chaîne de montagnes pourrait être plus élevé.



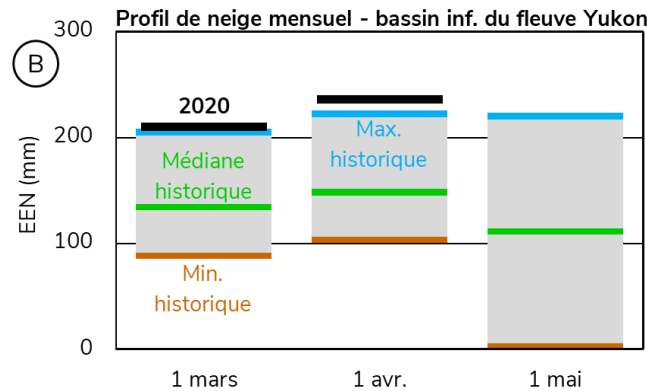
Le débit estimé de la rivière White à la route de l'Alaska est actuellement **près de la moyenne** (figure E). Les débits les plus élevés dans ce bassin versant dépendent surtout de la fonte de la neige en montagne et des glaciers, laquelle est grandement influencée par les températures et les précipitations estivales.

L'accumulation de neige **au-dessus** de la **médiane** porte actuellement à croire que le **volume de la crue printanière pourrait être supérieur à la moyenne**. Des anomalies de température chaude ou d'humidité au cours des quatre prochains mois pourraient se traduire par des **débits de pointe élevés**, notamment dans les rivières et ruisseaux que la route de l'Alaska traverse dans la région de Kluane.

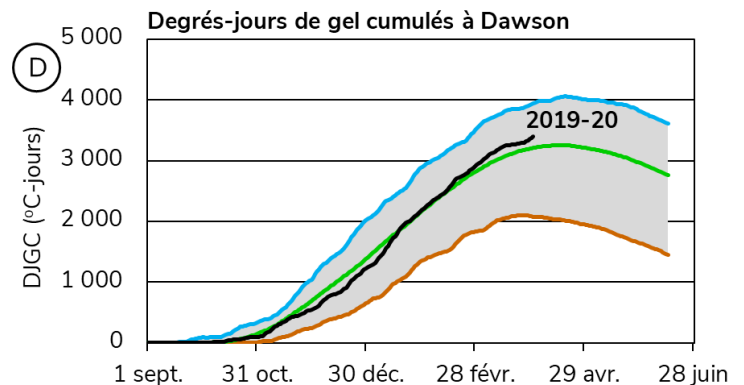
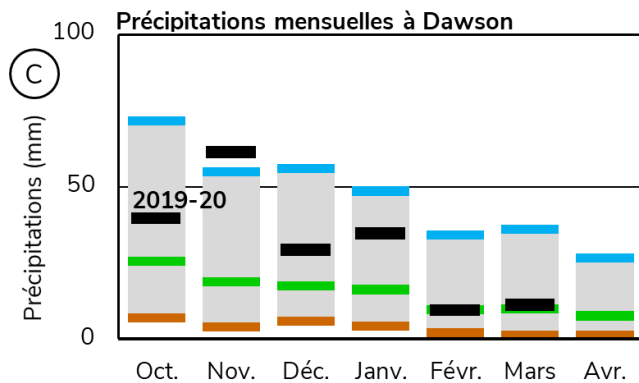


# BASSIN INFÉRIEUR DU FLEUVE YUKON (RÉGION DE DAWSON)

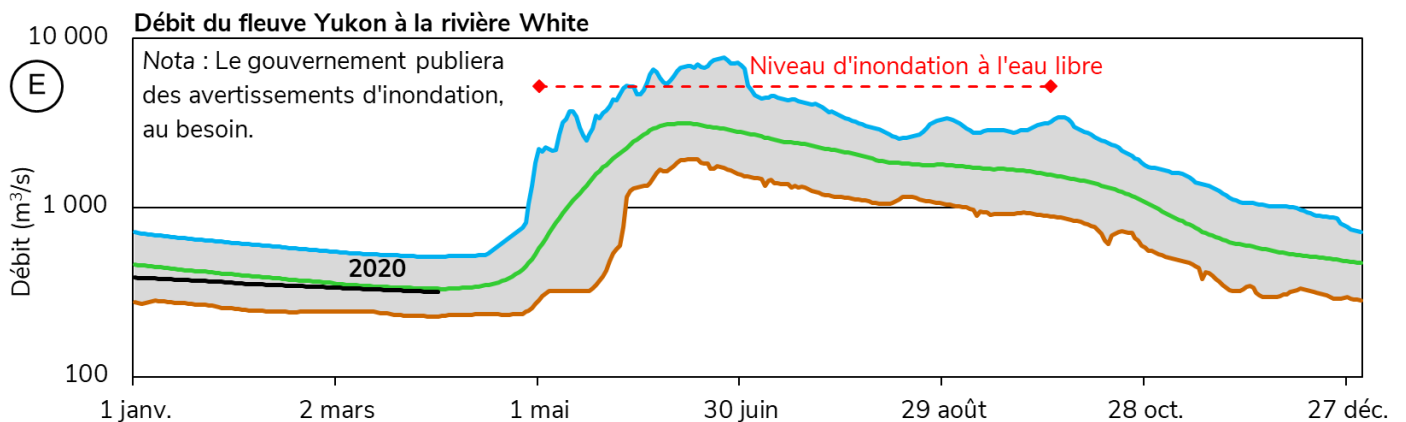
La moyenne de l'EEN dans le bassin inférieur du fleuve Yukon est estimée à **156 %** de la **médiane historique**, soit **236 mm** en date du 1<sup>er</sup> avril (figure B). Il s'agit de l'accumulation de neige la plus importante depuis 1980 pour cette période de l'année.



Les précipitations mensuelles enregistrées à l'aéroport de Dawson durant l'automne et l'hiver sont généralement **au-dessus** de la **moyenne** (figure C), dont un nouveau record maximum enregistré en novembre 2019. Les degrés-jours de gel cumulés (DJGC) sont **près de la moyenne**, soit à 3 400 DJGC (figure D), ce qui porte à croire que l'épaisseur du couvert de glace sur les rivières et les lacs de la région est également **près de la normale**. Ce couvert n'a pas commencé à se dégrader.

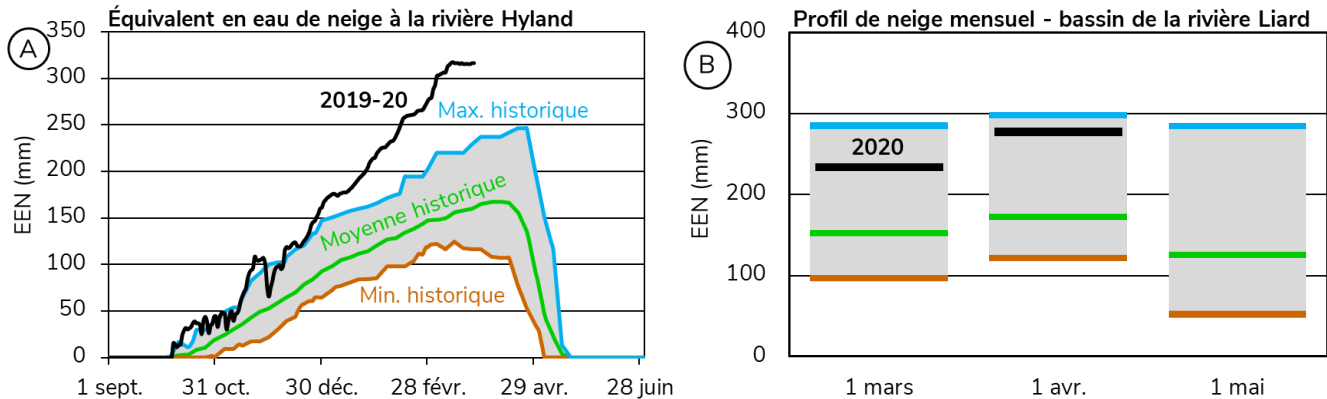


Le débit estimé du fleuve Yukon à la rivière White est **près de la moyenne** (figure E). L'accumulation de neige **bien au-dessus** de la **médiane** dans tous les bassins en amont porte à croire qu'il est **fort probable** que le **volume de la crue printanière sera important**. Avant la crue, une fonte tardive suivie d'une hausse soudaine des températures de l'air pourrait **favoriser la formation d'embâcles importants**. Ces énoncés s'appliquent aussi à la rivière Klondike. Un suivi sera effectué.

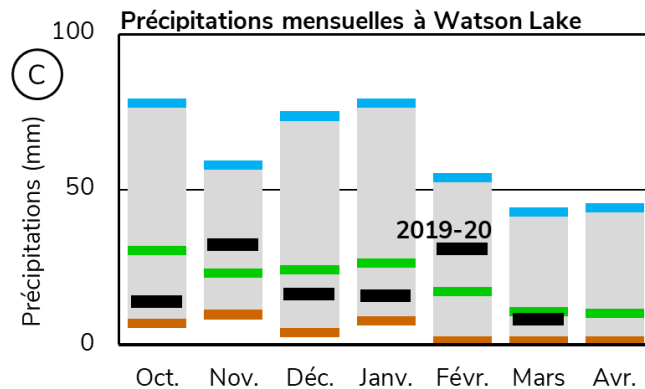


## BASSIN DE LA RIVIÈRE LIARD

À la station météorologique Hyland, l'EEN est estimé à **195 %** de la **moyenne** des données de 1992 à 2002 (figure A). La moyenne de l'EEN dans le bassin de la rivière Liard est estimée à **157 %** de la **médiane historique**, soit **277 mm** en date du 1<sup>er</sup> avril (figure B), ce qui peut être considéré comme une accumulation de neige importante pour la région.

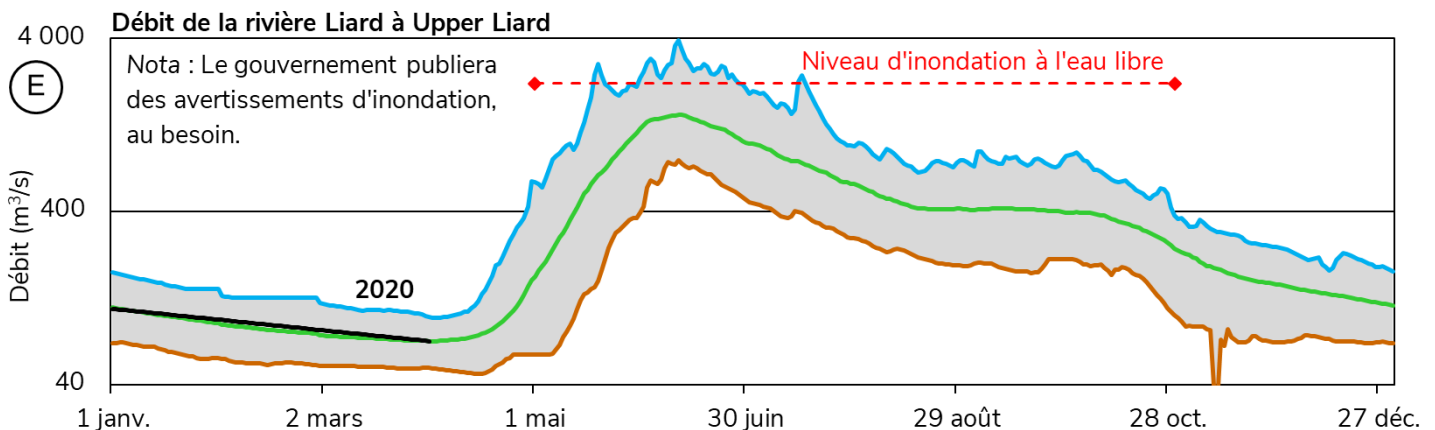


Les précipitations enregistrées à l'aéroport de Watson Lake durant les six derniers mois sont variables (figure C). Le cumul est près de la **moyenne**, mais cette donnée ne s'applique qu'à la partie sud du bassin versant de la rivière Liard.



Le débit estimé de la rivière Liard à Upper Liard est actuellement **près de la moyenne** (figure E).

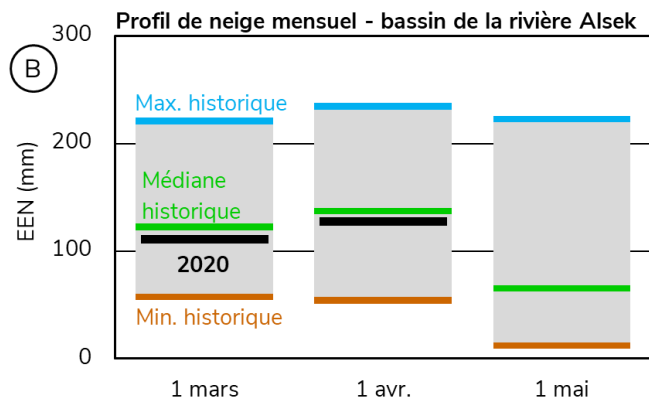
L'accumulation de neige dans le bassin versant **bien au-dessus** de la **médiane** porte à croire qu'il est probable que le **volume de la crue printanière sera important**, notamment dans les rivières et ruisseaux que la route de l'Alaska et la route Robert-Campbell traversent.



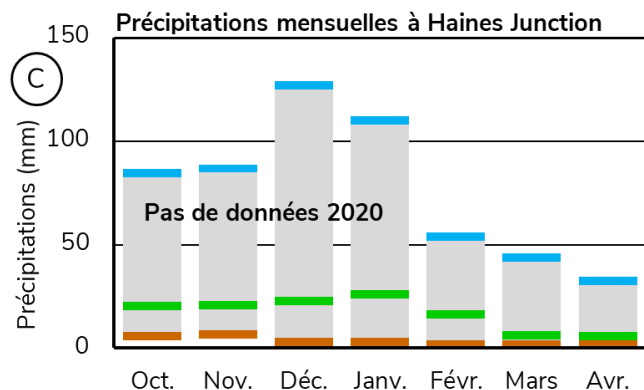


## BASSIN DE LA RIVIÈRE ALSEK

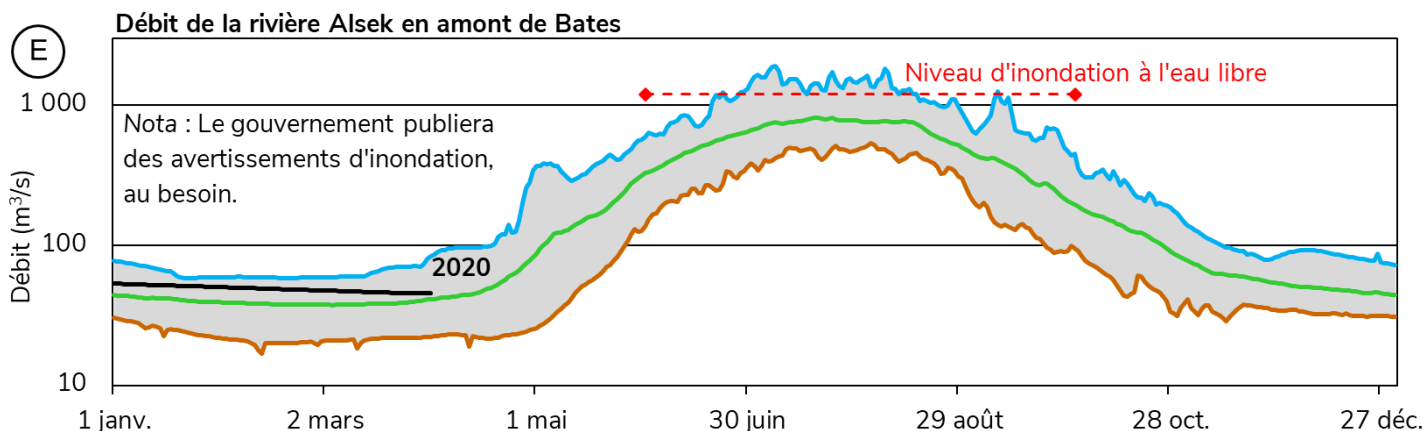
La moyenne de l'EEN dans le bassin de la rivière Alsek est estimée à **91 %** de la **médiane historique**, soit **127 mm** en date du 1<sup>er</sup> avril (figure B). Cette donnée, toutefois, pourrait n'être représentative que pour les régions de Haines Junction et du lac Aishihik, tandis que l'accumulation de neige dans la chaîne de montagnes St. Elias est probablement **au-dessus** de la **médiane historique**.



Aucune donnée de précipitation n'a été enregistrée à Haines Junction (figure C), mais les observations concernant le couvert de neige indiquent que les valeurs sont, dans l'ensemble, **inférieures** à la **moyenne**.

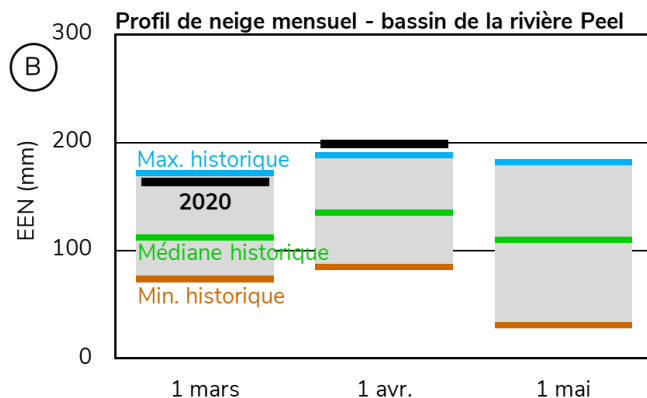


À l'heure actuelle, le débit estimé de la rivière Alsek est légèrement **au-dessus** de la **moyenne** (figure E). Les débits les plus élevés dans ce bassin versant dépendent surtout de la fonte de la neige en montagne et des glaciers, laquelle est grandement influencée par les températures et les précipitations estivales. L'accumulation de neige dans la chaîne de montagnes St. Elias pourrait entraîner un **volume de la crue printanière supérieur** à la **moyenne**. Des anomalies de température chaude ou d'humidité au cours des quatre prochains mois pourraient se traduire par des **débits de pointe élevés**.

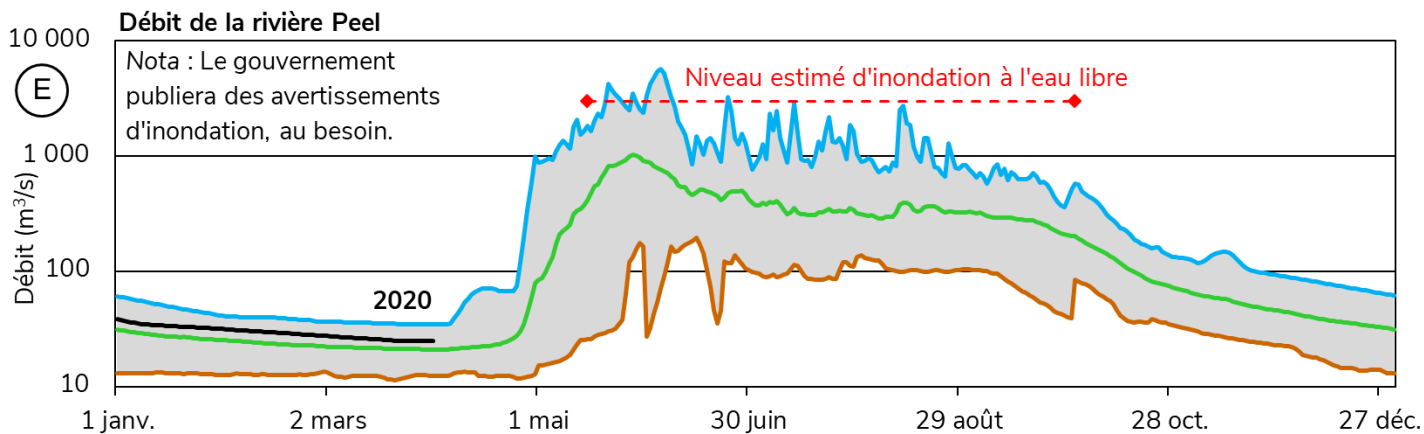


## BASSIN DE LA RIVIÈRE PEEL

La moyenne de l'EEN dans le bassin de la rivière Peel est estimée à **144 %** de la **médiane historique**, soit **199 mm** en date du 1<sup>er</sup> avril (figure B). Il s'agit de l'accumulation de neige la plus importante depuis 1980 pour cette période de l'année.

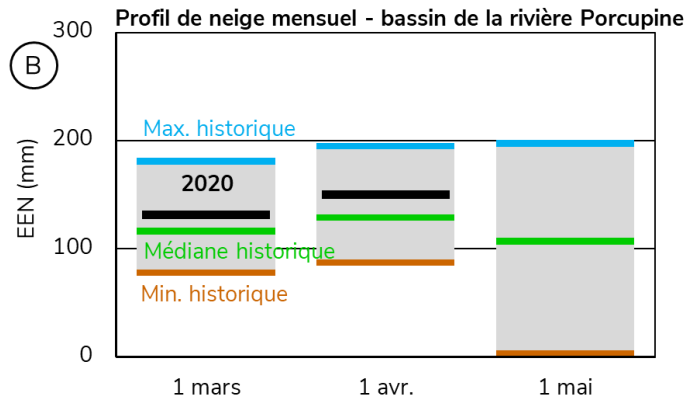


Le débit estimé de la rivière Peel le 28 février était légèrement **au-dessus** de la **moyenne** (figure E). Puisque l'accumulation de neige a atteint un nouveau **record maximum** dans le bassin versant, les **débits de pointe de mai et de juin seront probablement importants**, notamment dans les rivières et ruisseaux que la route Dempster traverse.

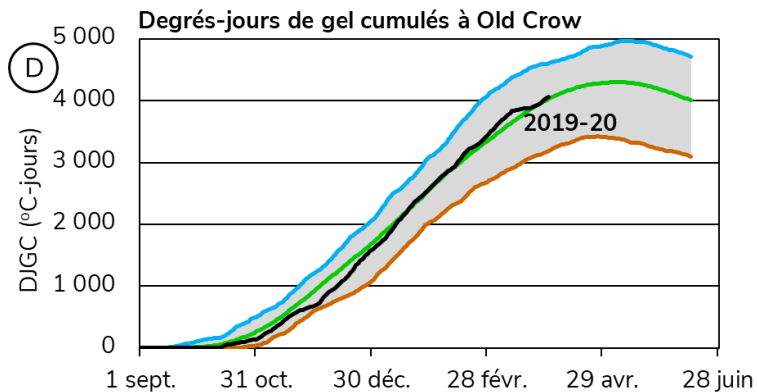
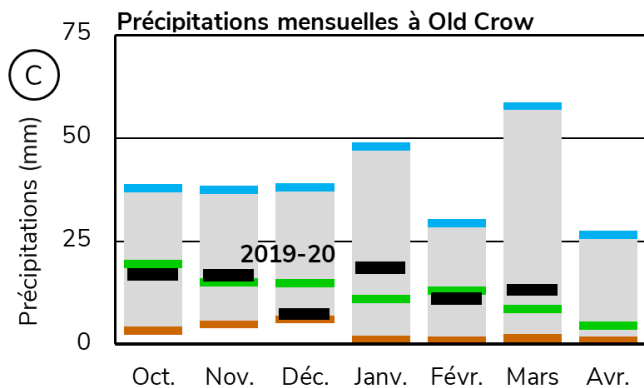


# BASSIN DE LA RIVIÈRE PORCUPINE

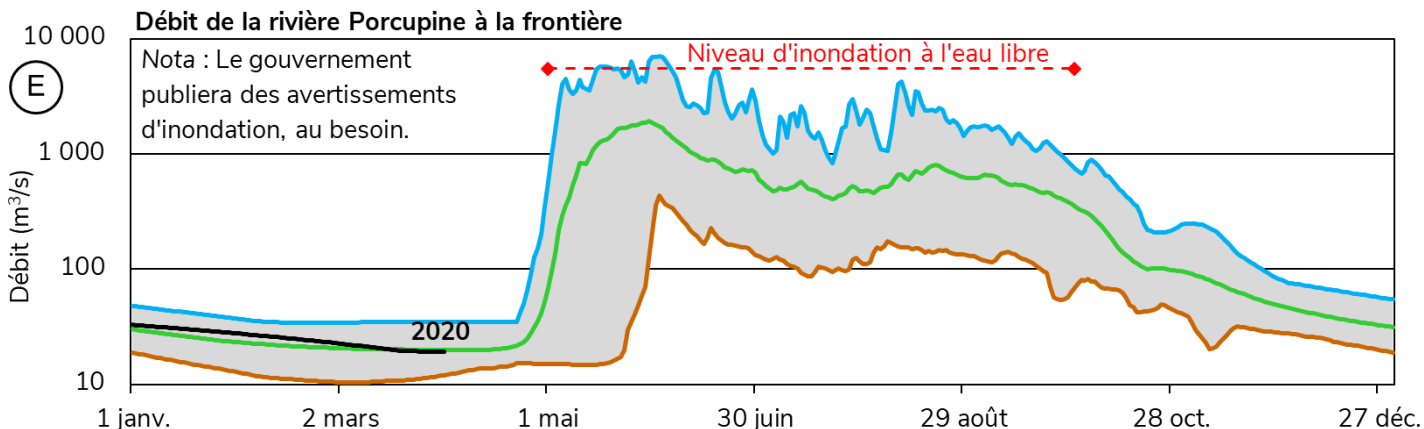
La moyenne de l'EEN dans le bassin de la rivière Porcupine est estimée à **114 %** de la **médiane historique**, soit **150 mm** en date du 1<sup>er</sup> avril (figure B).



Les précipitations mensuelles enregistrées à Old Crow durant l'automne et l'hiver sont globalement **près de la moyenne** (figure C). Les degrés-jours de gel cumulés (DJGC) sont aussi **près de la moyenne**, soit à 4 060 DJGC en date du 1<sup>er</sup> avril (figure D), ce qui porte à croire que l'épaisseur du couvert de glace sur les rivières et les lacs de la région est **normale**. Ce couvert n'a pas commencé à se dégrader.



Le débit estimé de la rivière Porcupine est **près de la moyenne** (figure E). L'accumulation de neige dans le bassin versant **au-dessus** de la **médiane** porte à croire qu'il est **fort probable** que le **volume de la crue printanière sera important**. Avant la crue, une hausse soudaine des températures de l'air pourrait **favoriser la formation d'embâcles importants** (un suivi sera effectué).



# Bassin versant et profil de neige

Date d'échantillonnage : 2020-04-01

Nom	Numéro	Élévation (m)	Date du relevé	Épaisseur de la neige cette année (cm)	Contenu en eau (EEN) (mm)	Année dernière (mm)	Médiane historique EEN (mm)	N <sup>bre</sup> d'années de données
<b>Bassin de la rivière Alsek</b>								
Canyon Lake	08AA-SC01	1160	2020-03-26	47	80	7	91	41
Alder Creek	08AA-SC02	768	2020-03-31	75	160	72	157	39
Aishihik Lake	08AA-SC03	945	2020-03-26	46	78 E	26	77	26
Haines Junc. Farm	08AA-SC04	610	2020-03-30	35	78	0	91	19
Summit	08AB-SC03	1000	2020-03-30	86	208	194	256	37
<b>Bassin du fleuve Yukon</b>								
Tagish	09AA-SC01	1080	2020-03-30	70	153	64	144	43
Montana Mountain	09AA-SC02	1020	2020-03-30	71	171	53	137	40
Log Cabin (C.-B.)	09AA-SC03	884	2020-03-26	147	504	228	373	56
Atlin (C.-B.)	09AA-SC04	730	2020-03-27	33	70	0	116	54
Mt McIntyre B	09AB-SC01B	1097	2020-03-30	87	192	91	153	42
Whitehorse Airport	09AB-SC02	700	2020-03-31	55	124	42	101	53
Meadow Creek	09AD-SC01	1235	2020-03-26	128	344	140	275	42
Jordan Lake	09AD-SC02	930	2020-04-01	90	229	49	135	33
Morley Lake	09AE-SC01	824	2020-03-27	73	166	46	144	30
Mount Berdoe	09AH-SC01	1035	2020-03-30	78	161	23	108	43
Satasha Lake	09AH-SC03	1106	2020-03-30	57	122	0	97	33
Williams Creek	09AH-SC04	914	2020-03-30	67	146	29	98	25
Twin Creeks B	09BA-SC02B	900	2020-03-31	91	221	92	114	4
Hoole River	09BA-SC03	1036	2020-04-01	95	237	50	137	43
Burns Lake	09BA-SC04	1112	2020-03-31	122	319	152	220	34
Finlayson Airstrip	09BA-SC05	988	2020-04-01	79	173	79	105	33
Fuller Lake	09BB-SC03	1126	2020-03-31	100	249	103	193	33
Russell Lake	09BB-SC04	1060	2020-03-31	116	266	150	226	33
Rose Creek	09BC-SC01	1080	2020-03-30	79	168	30	108	26
Mount Nansen	09CA-SC01	1021	2020-03-30	58	113	25	79	44
MacIntosh	09CA-SC02	1160	2020-03-30	64	135	0	97	44
Burwash Airstrip	09CA-SC03	810	2020-03-26	34	64 E	0	41	41
Beaver Creek	09CB-SC01	655	2020-04-01	49	83	51	86	43
Chair Mountain	09CB-SC02	1067	2020-04-01	66	130	61	101	28
Casino Creek	09CD-SC01	1065	2020-03-30	94	185	73	128	42
Pelly Farm	09CD-SC03	472	2020-03-30	59	177	6	76	33
Plata Airstrip	09DA-SC01	830	2020-03-31	107	251	92	186	42
Withers Lake	09DB-SC01	975	2020-03-31	118	292	152	227	34
Rackla Lake	09DB-SC02	1040	2020-03-31	110	259	153	188	33

Code « E » – Estimé; code « B » – La date du relevé est en dehors de la plage d'échantillonnage valide; « A.R. » – Aucun relevé.

Bassin versant et profil de neige  
Date d'échantillonnage : 2020-04-01

Nom	Numéro	Élévation (m)	Date du relevé	Épaisseur de la neige cette année (cm)	Contenu en eau (EEN) (mm)	Année dernière (mm)	Médiane historique EEN (mm)	N <sup>bre</sup> d'années de données
<b>Bassin du fleuve Yukon</b>								
Mayo Airport A	09DC-SC01A	540	2020-03-27	84	173	0	95	47
Mayo Airport B	09DC-SC01B	540	2020-03-27	85	166	0	102	30
Edwards Lake	09DC-SC02	830	2020-03-31	89	201	68	157	33
Calumet	09DD-SC01	1310	2020-03-31	137	305	95 E	192	39
King Solomon Dome	09EA-SC01	1080	2020-03-27	112	223	83	161	43
Grizzly Creek	09EA-SC02	975	2020-03-30	110	278	119	177	44
Midnight Dome	09EB-SC01	855	2020-03-26	112	252	109	153	45
Boundary (Alaska)	09EC-SC02	1005	2020-04-01	89	198 E	122	135	47
<b>Bassin de la rivière Porcupine</b>								
Riff's Ridge	09FA-SC01	650	2020-03-30	87	180	132	148	32
Eagle Plains	09FB-SC01	710	2020-03-30	88	187	185	166	36
Eagle River	09FB-SC02	340	2020-03-30	68	135	132	135	34
Old Crow	09FD-SC01	299	2020-03-31	67	134 E	140	121	37
<b>Bassin de la rivière Liard</b>								
Watson Lake Airport	10AA-SC01	685	2020-03-31	66	128	77	138	55
Tintina Airstrip	10AA-SC02	1067	2020-04-01	122	348	139	204	42
Pine Lake Airstrip	10AA-SC03	995	2020-03-30	109	332	144	221	42
Ford Lake	10AA-SC04	1110	2020-04-01	117	324	113	190	33
Frances River	10AB-SC01	730	2020-03-27	91	199	105	158	45
Hyland River	10AD-SC01	855	2020-03-26	121	284	148	176	43
Hyland River B	10AD-SC01B	880	2020-03-26	125	322	165	148	2
<b>Bassin de la rivière Peel</b>								
Blackstone River	10MA-SC01	920	2020-03-30	77	165	72	105	44
Ogilvie River	10MA-SC02	595	2020-03-30	76	169	102 E	107	42
Bonnet Plume Lake	10MB-SC01	1120	2020-03-31	98	240	109	176	33
<b>Profils de neige en Alaska</b>								
Eaglecrest	08AK-SC01	305	2020-04-01	213	762	163	486	38
Moore Creek Bridge	08AK-SC02	700	2020-04-03	163	620	269	508	27

Code « E » – Estimé; code « B » – La date du relevé est en dehors de la plage d'échantillonnage valide; « A.R. » – Aucun relevé.

# Emplacement des prélèvements aux fins d'établissement des profils de neige (ressources hydriques)

